

2024年9月4日

FIT2024

# 8k次格子グラフモデルによる 物体の重なり検知

夜久竹夫(日本大) 安齋公士(関東学園大)  
横田健(日大学二中高)、横山隆介(応用オートマトン研)

FIT2024

CA-005

2024年9月4日 広島工業大学 1a会場

スライド  
PDF



# 用語

- “ $8k$ -次格子グラフ”
- 罫線指向処理のための矩形分割
- のための疑似格子グラフ



## 位置づけ 問題とデータ構造の計算時間

問題→ データ構造↓	表現 力	探索	結合	重なり検知 (複数(超)矩形分割)
矩形双対グ ラフ	全て	$O(n)$	$O(n)$	$O(n^2)$ (自明)
$4k$ -分木	非螺旋 のみ	$O(\log n)$	$O(1)$ (同一クラス ター内) $O(n)$ (一般)	$O(n)$ (自明)
$8k$ -次格子	全て	$O(n)$	$O(1)$	$O(n)$ ← the objects represented by $1 \times 1$ rectangles $O(n^2)$ ← otherwise

# 要約—

- 重なりの定式化

  - 2D 物体、16次格子による

  - 3D 物体、40次格子による

  - 4D 物体、96次格子による

- それらの重なり検知のための  $O(n)$   
and  $O(n^2)$  時間手法



*Keywords—* モデル化; 移動対象; 重なり; 高次元; 8-次格子

# 引用文献

1. R. A. Finkel and J. L. Bentley, Quad Trees: A Data Structure for Retrieval on Composite Keys, *Acta Informatica* 4, 1–9, 1974.
2. C. L. Jackins and S. Tanimoto, Oct-trees and their use in representing three-dimensional objects *Computer Graphics and Image Processing* 14(3), 249–270, 1980.
3. N. Inamoto, Hexadecimal-Tree: A Time-Continuous 4D Interference Check Method. In: Falcidieno B., Kunii T.L. (eds) Modeling in Computer Graphics. *IFIP Series on Computer Graphics*. Springer, (1993)
4. T. Yaku, Representation of Heterogeneous Tessellation Structures by Graphs, *Memoir of WAAP Meetings* 108, 6p, Dec., 2001. , URL <http://www.waap.gr.jp/waap-rr/waap-rr-01-013.pdf>
5. R. Yokoyama, T. Yaku et.al, Geographical concept recognition with the octgrid method for learning geography and geology, *Proc. 7 th IEEE ICALT*, pp. 470 – 471, 2007.
6. S. Koka, K. Nomaki, K. Sugita, K. Tsuchida and T. Yaku, Ridge detection with a drop of water principle, *Proc. SIGGRAPH ASIA 2010 Posters*, No. 34 2010
7. G. Akagi, K. Anada, S. Koka, Y. Nakayama, K. Nomaki, T. Yaku: A resolution reduction method for multi-resolution terrain maps. *SIGGRAPH Posters 2012*: 86
8. T. Yaku, K. Anada, K. Anzai, S. Koka, Y. Miyadera, K. Tsuchida, 8k-ary Grid Graph Models of Tabular Forms, *Springer LNCS* 8373, pp. 465–477, 2014.
9. T. Yaku, K. Anzai K. Yokota and Y. Miyadera, A 64 degree grid graph model of the time-continuous 4D objects, *Proc. ACIT* 3, pp, 133 – 135, 2015
10. T. Yaku, K. Anzai, Y. Miyadera and K. Yokota, A 40- degree grid model for multiple 3D objects, *Proc.2016 IEEE ICIT*, pp, 1678–1683, 2016.
11. Takeo Yaku, Youzou Miyadera and Masanori Suzuki, 96-ary degree grid graphs for modeling of multiple time-continuous 4D objects, *Proc.12<sup>th</sup> KICSS*, pp.208–209, 2017.





- 12 S. Koka, T. Yaku, et. al., Tabular forms editing with a hexadecimal grid graph model, Proc. VL/HCC 253-254, 2011
- 13 K. Anada, T. Yaku, et. al., Algorithms for ridge and valley detection in terrain maps, *J. Comput. Methods in Sci. & Engin.* 17, 95 – 110, 2017.

# 1. はじめに

**分野:** CADや自律移動、効率的な計算

**主題:**

複数物体のためのデータ構造  
重なり検知

**対象:** 複数の 2D, 3D, 4D物体



## ●我々のゴール:

複数の 4D物体(移動する3次元物体)  
の個別処理のための  
データ構造とアルゴリズム



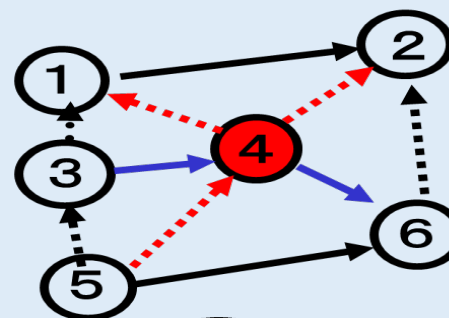
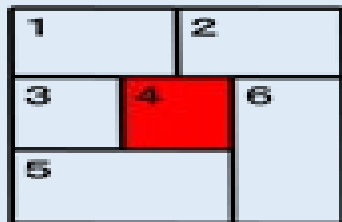
- 背景

# 矩形分割のグラフ表現



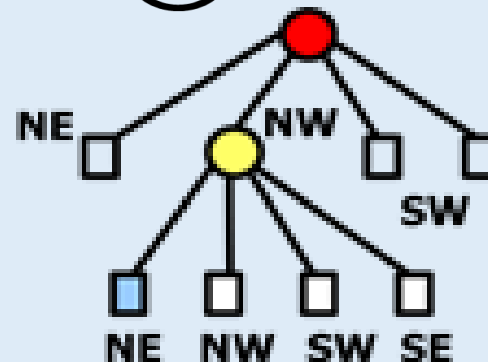
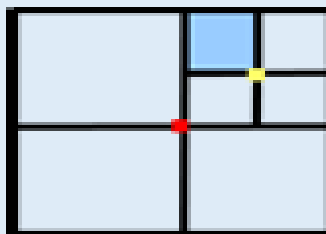
## 矩形双対グラフ

1800s



## 4k-分木[1]

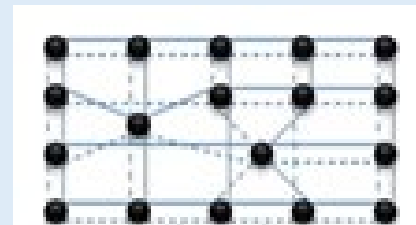
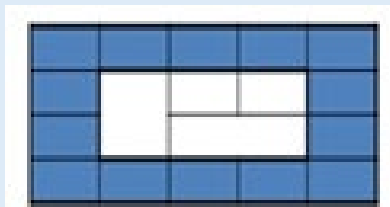
Finkel et al, 1974



SW: SouthWest  
 . . .

## 8k-格子[8]

Yaku 2002~





## 背景 (続き)

- 8分木 for 3D, Tanimoto, 1980 [2]
- 16分木 for 4D, Inamoto, 1993 [3]
- 衝突検知、8分木、ゲームの世界  
自律移動、CAD
- 16次格子、多層8次格子, Yaku 2011 [12]



動機:

高速の重なり検知手法: 期待

## 目的:

1.  $8k$ -次格子を用いた重なりの定式化
2. 2D物体の重なり検知
3. 3D, 4D物体の重なり検知

## 結果:

1.  $8k$ -次格子を用いた重なりの定義
2. 16次格子を用いた、2D対象の $O(n)$  and  $O(n^2)$  重なり検知アルゴリズム [8].
3. 40-次と96-次格子を用いた3D、4D対象の $O(n)$  と  $O(n^2)$  重なり検知アルゴリズム [8].

応用:

速い衝突検知システム:

CAD . . . . 部品配置の整合化

自律移動 . . 自律走行

飛翔物体



## 2. 準備

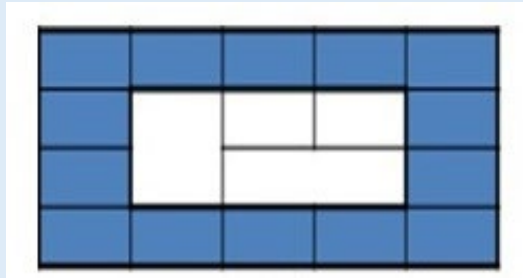
### 罫線処理を指向した“ $8k$ -次格子”の解説

(1) “ $8$ -次格子”：単一の矩形分割とその罫線指向処理のためのデータ構造

# 定義2.1 (8次格子)

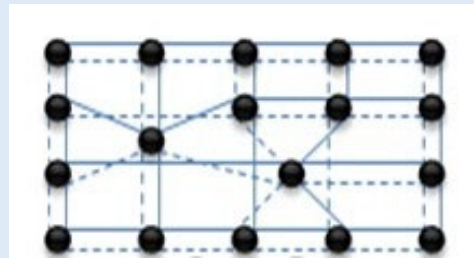
$D$ : 矩形分割

(多重辺)グラフ  $G_D$ :  $D$  に対する8次格子  $\Leftrightarrow \text{def} \Rightarrow$  例で説明↓

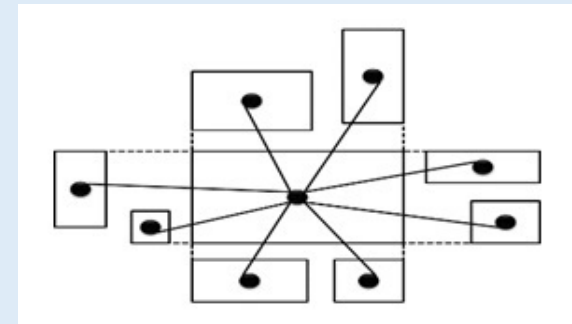


$D$ : 矩形分割

Fig D



$D$ に対する8次格子  $G_D$



$G_D$ の局所構造

2頂点がリンク

$\Leftrightarrow$ 対応する矩形がもっとも近くで罫線(壁)を共有





グラフ  $G$  : 8次格子

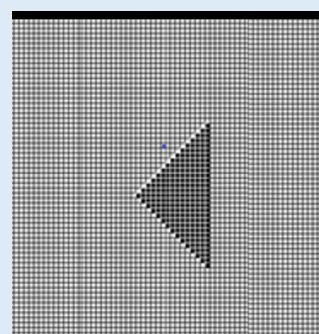
$\Leftarrow \text{def} \Rightarrow$   $G$  : ある矩形分割に対する8次格子 ■

# 8次格子の応用：解像度低減と回転

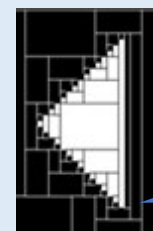
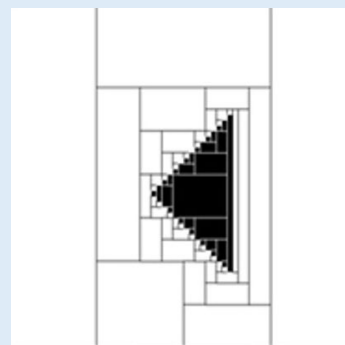
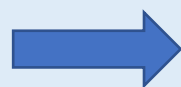


少ないセル -> 速い表示

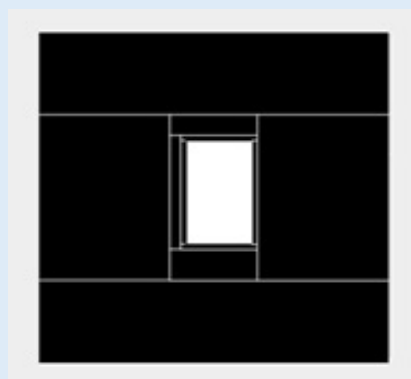
8次格子は早いアルゴリズムを提供-> 速い表示処理



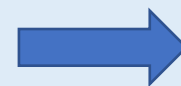
解像度低減



罫線のイメージ



回転

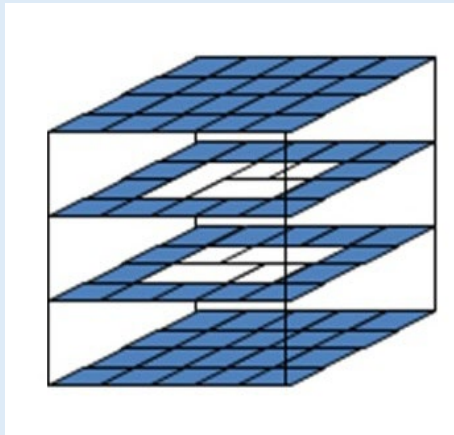


白黒逆

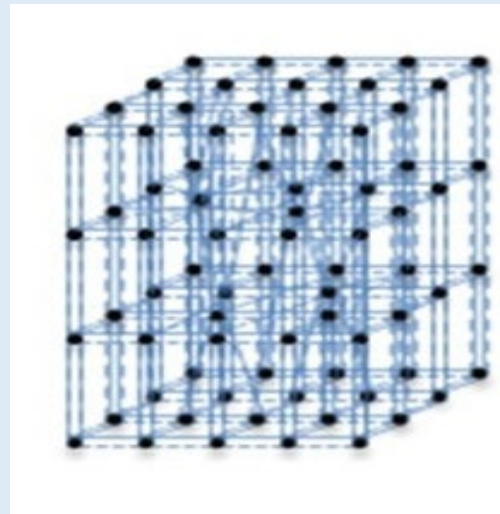
Fig E (Kubota)

## (2) “16次格子”：複数矩形分割のデータ構造[12]

**16次格子**：共通のコーナーを持つ直近のセル同士をリンクして多層化、以下の図参照↓

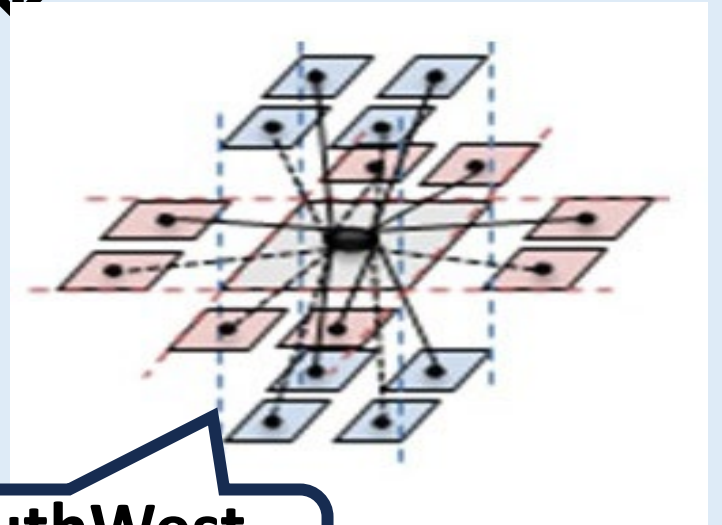


多層矩形分割



対応する16次  
格子

Fig G (Kureha)



SW SouthWest  
コーナー

局所構造



# 16次格子の複数対象への応用

## ターゲット

複数ページ表 (商用書類)

多層地図 (地理学)

複数平面部品 (CAD)

## 処理の例

特定位置のセルの複数ページ表の値の合計

個別の変換

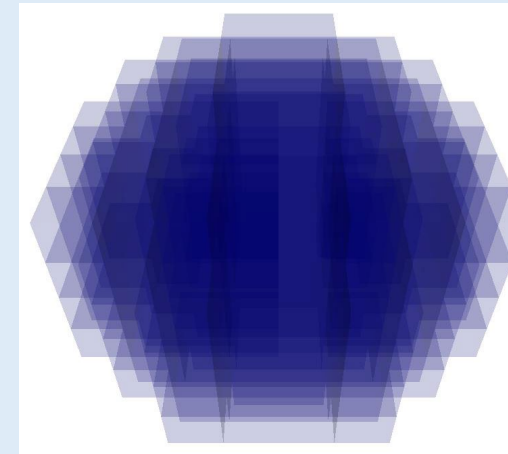
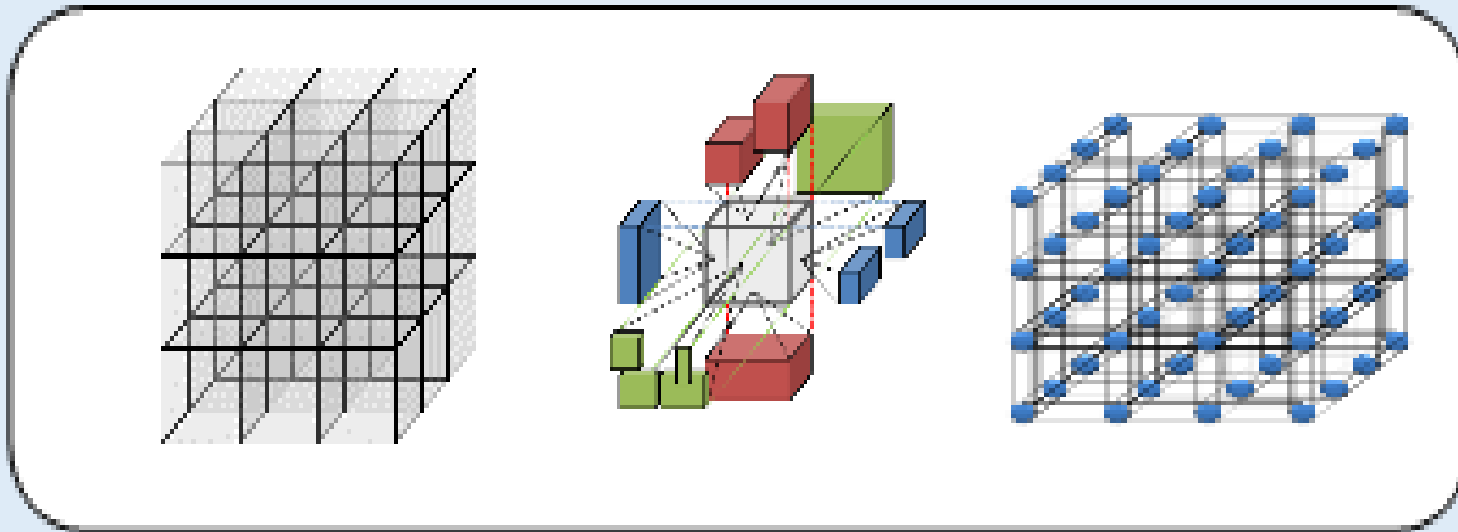
衝突検知・重なり検知



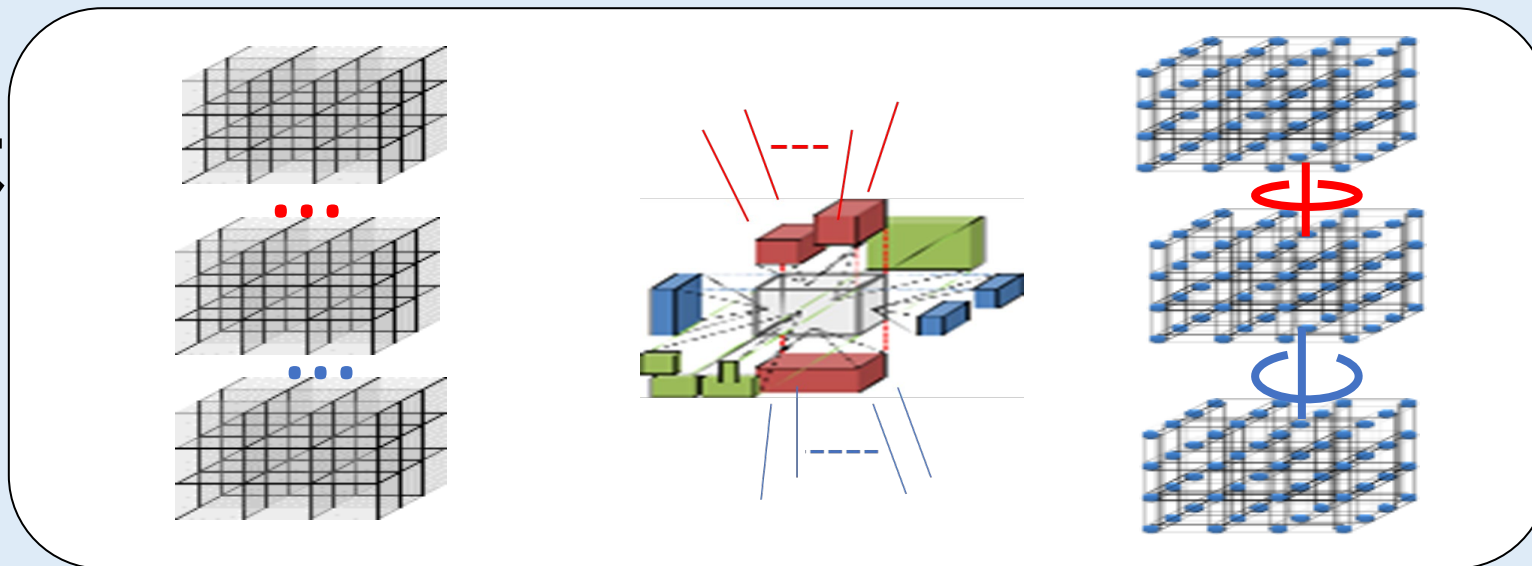
3D

例

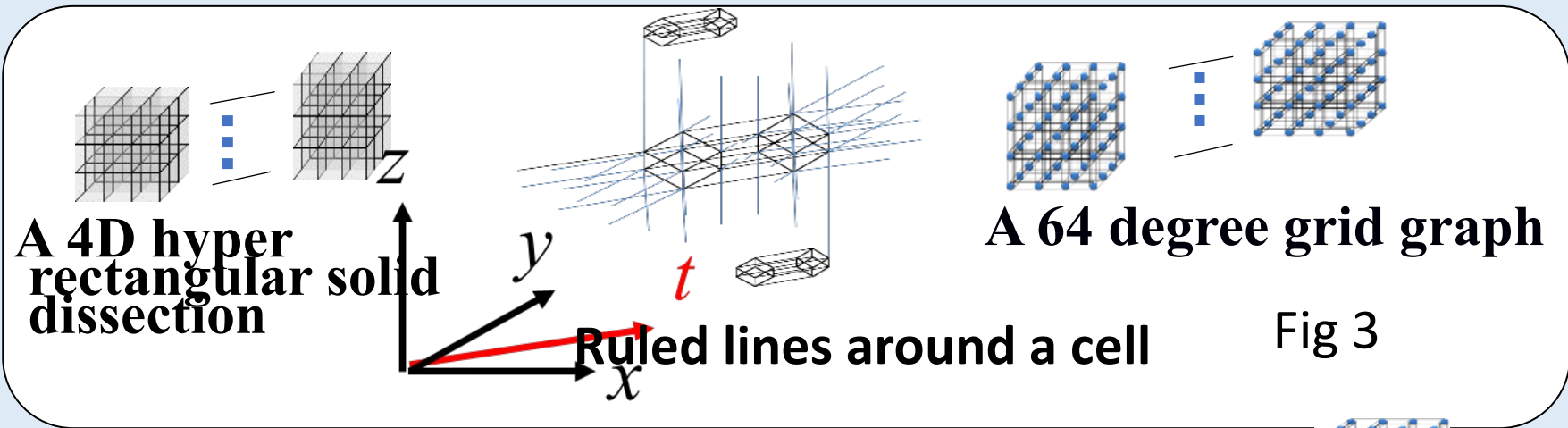
单一3D物体  
24次格子



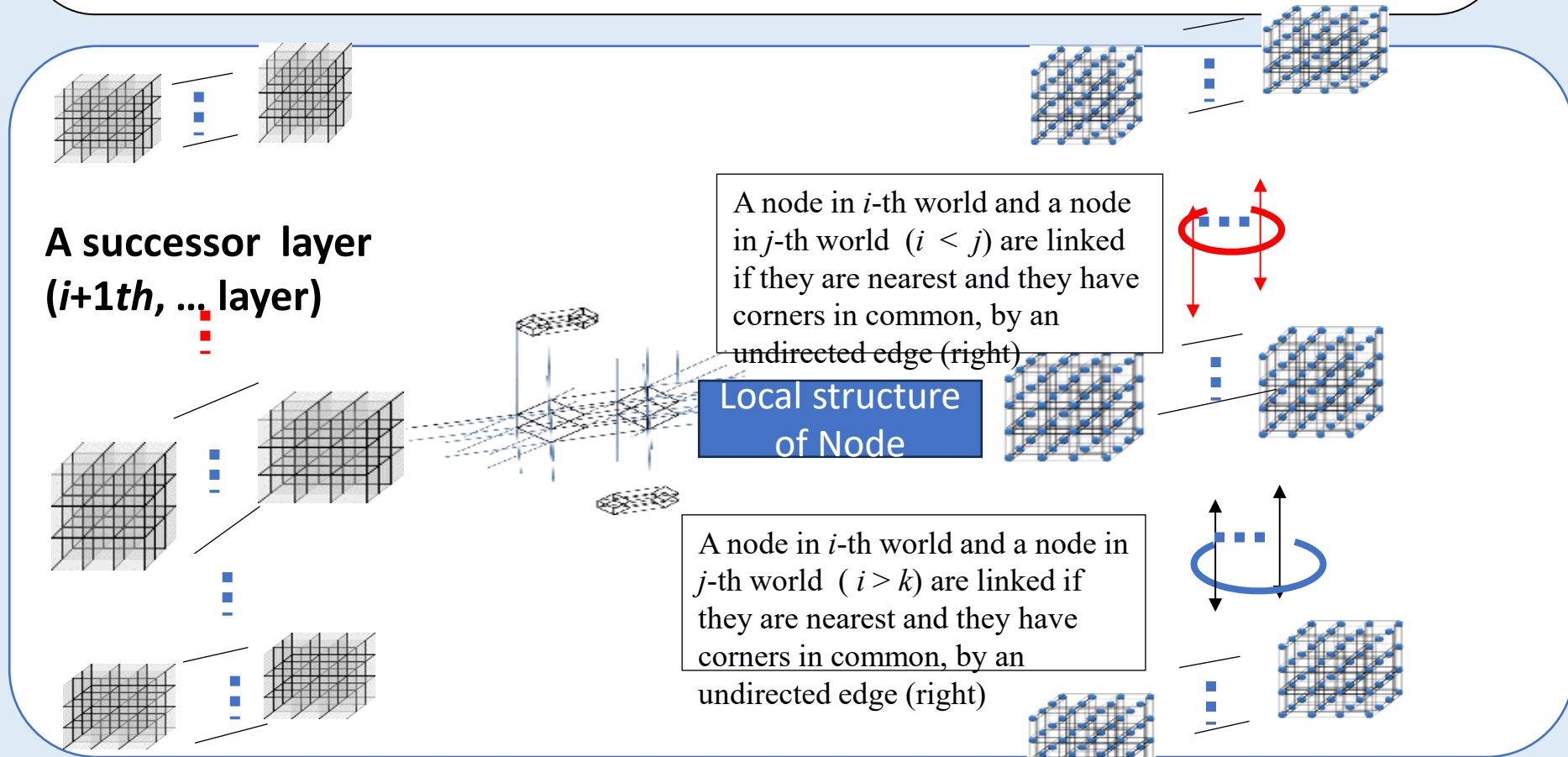
複数3D物体  
40次格子



# 单一4D物体 64次格子



# 複数4D物体 96次格子



### 3. $8k$ 次格子を用いた重なりのモデル化

(はじめに2Dの場合)

次の16次格子を考える：

各頂点は黒●(占有)か白○(空虚)で色付けと仮定、  
各物体はある層の黒の頂点の集まりで表現[7]、  
即ち二つの物体は二つの層で表現。

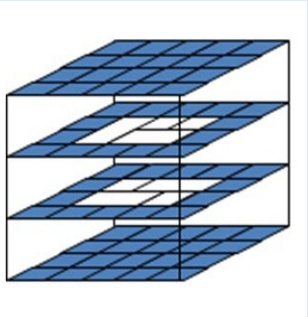
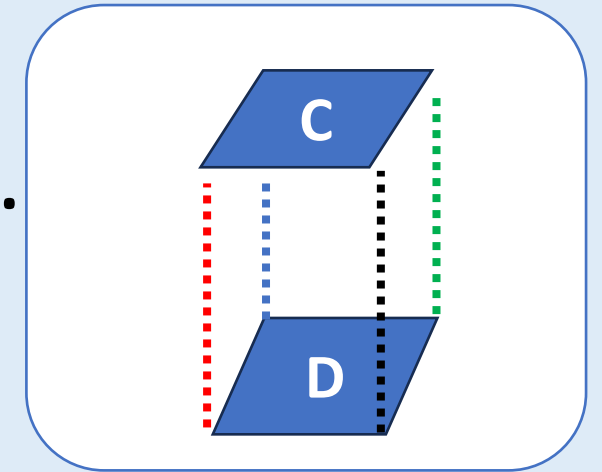
# 重なり(→衝突)の定義

定義 (重なり)

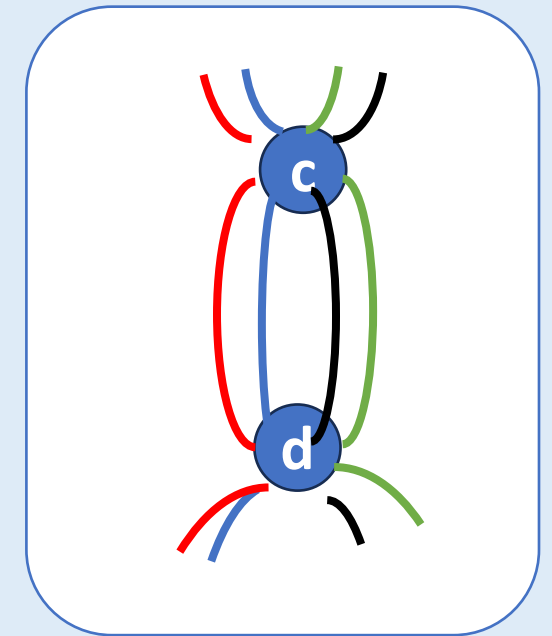
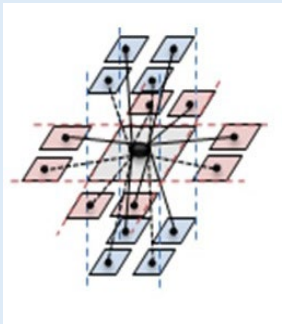
$C$ 、 $D$  をそれぞれ多層矩形分割の層  $l$ 、 $k$  のセルとする。  
異なる層のセル  $C$  と  $D$  は 真に重なる

$\Leftrightarrow C, D$ : 占有されている

$C$  と  $D$  は 4 コーナーを共有している



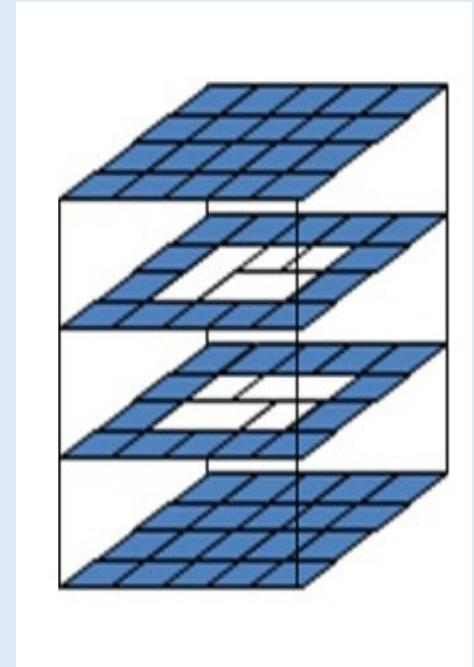
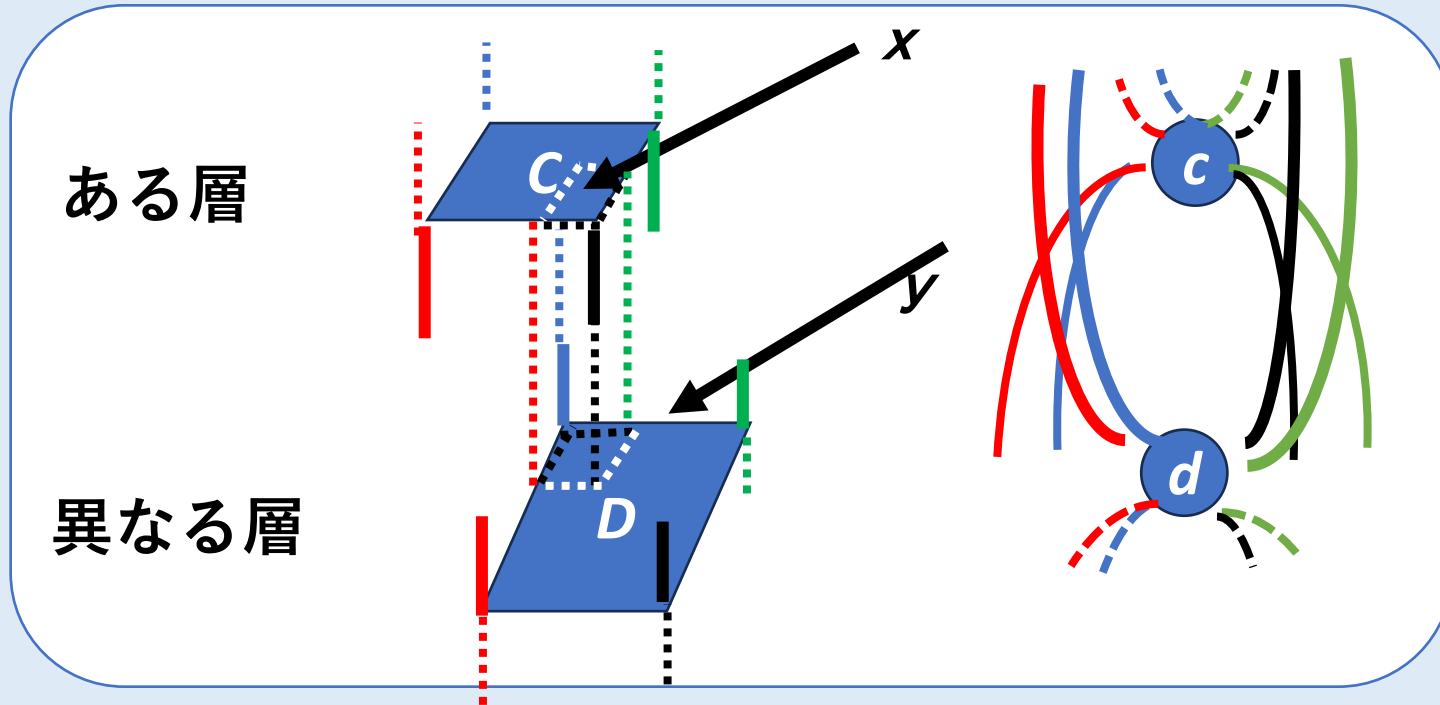
16次格子の"真に重なる"も同様に定義される



注意。この場合、二つのセルの重なり検知アルゴリズムは  $O(1)$  時間

物体: 多層矩形分割の同一の層に属する連結された占有セル集合  
定義. 物体 $P$ と異なる層に属する物体 $Q$ : (部分的に)重なる  
 $\Leftrightarrow \exists \text{セル } C \text{ in } P, \exists \text{セル } D \text{ in } Q$ : 下のように”部分的に重なる”

16次格子の 物体と 物体の重なりも同様に定義.



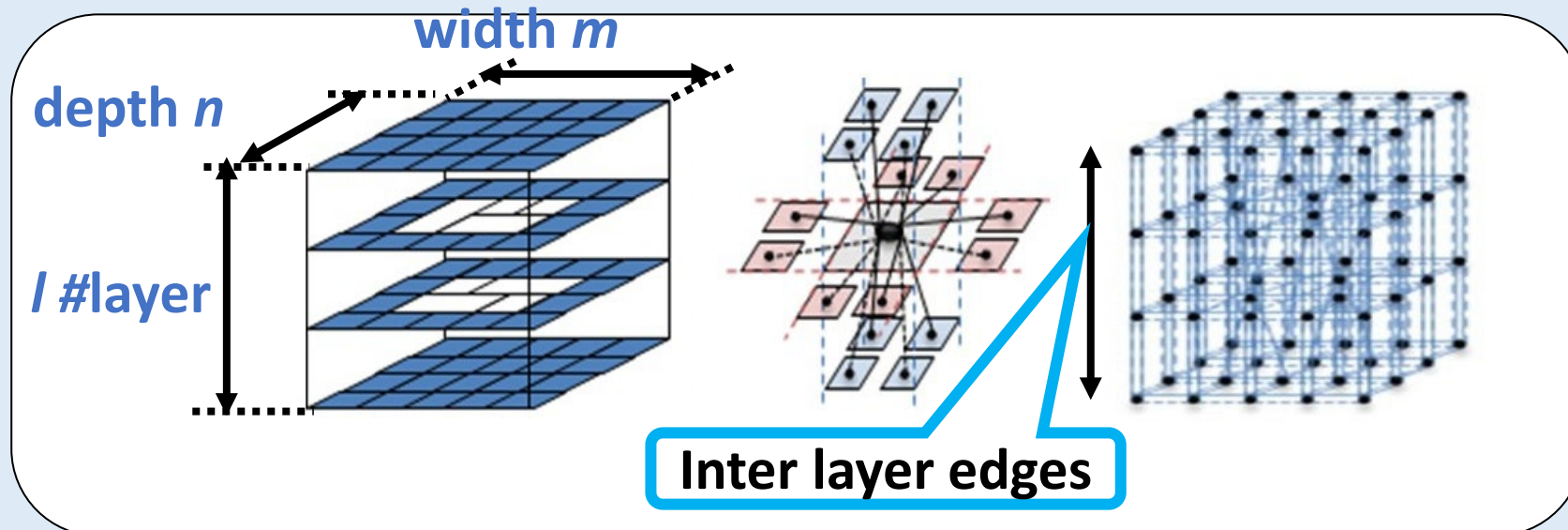
注意. この場合 $C$ と $D$ の重なり判定は  $O(n)$  時間■

# 4. 重なり検知アルゴリズム



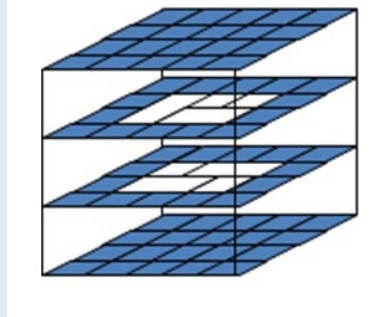
## (1) 2D物体の重なり検知

$l$ 層の  $n \times m$  矩形分割(例: 左)と  
対応する16次格子(例: 右)を考える



# Algorithm

## *2OverlapDetectionWith16grid(G, y)*



### INPUT

$G(V, E, L, loc, occupation, v_0)$  : 幅  $m$ , 奥行  $n$ , 層数  $l$  の16次格子

$L$  : 辺の北壁、南壁、東壁、西壁の種別

$loc : V \rightarrow N^4$  : セルの位置(北壁、南壁、東壁、西壁の番号)

$occupation : V \rightarrow \{VACANT, OCCUPIED\}$  : 占有 / 空虚の種別

$v_0$  : 基準頂点、 $v_{1,1}$ と仮定

### OUTPUT

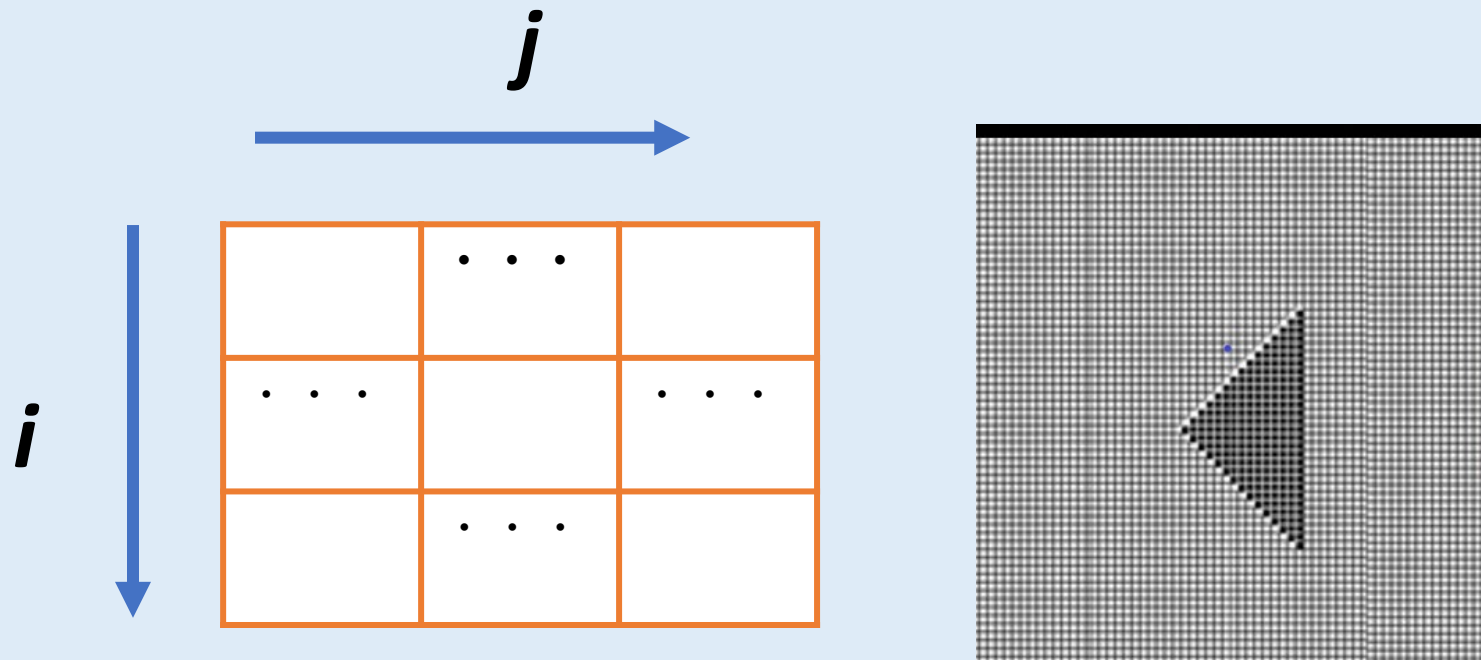
$y$ : NOT-OVERLAPPED / OVERLAPPED





## 補助変数K

$M$ : An  $n \times m$  ARRAY that indicates occupation of each  $i, j$  location while computation



初期化で最初は  $M$  の値は全て *VACANT*,

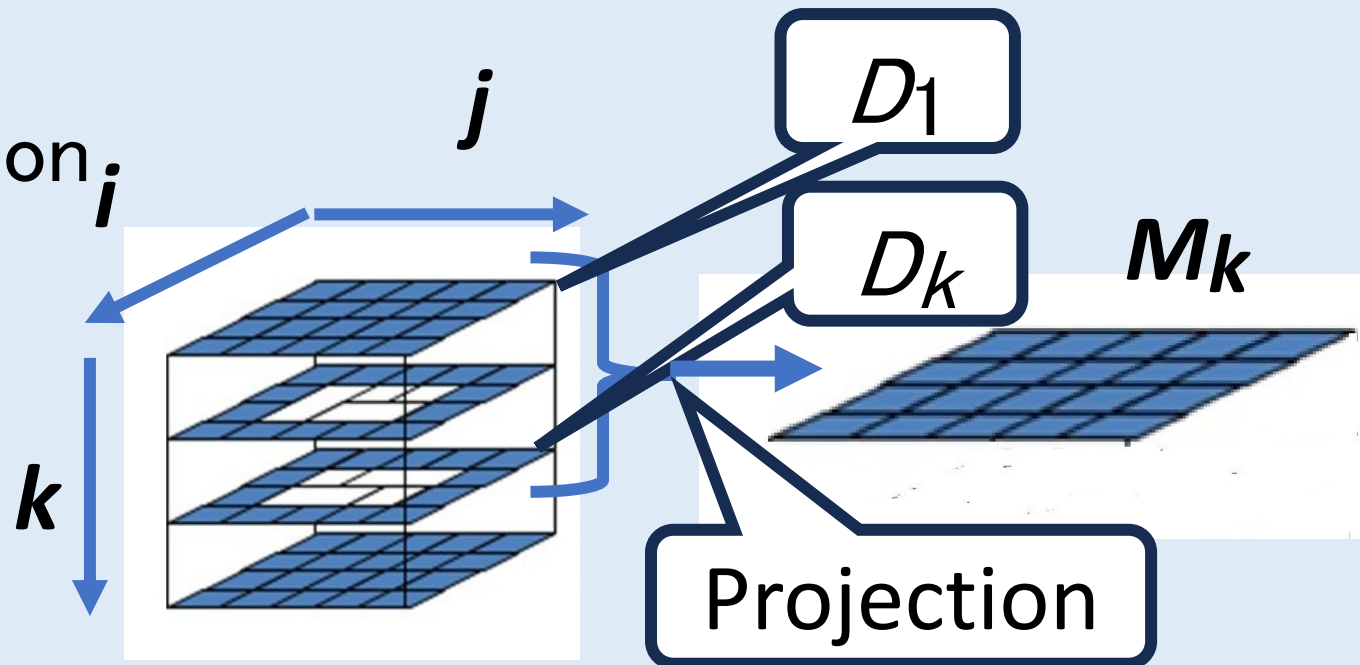
# 手順概要

Suppose that  $\mathbf{M}_k$  is a projection,  
of  $D_1, \dots, D_k$  with respect to  
occupation in STEP  $k$ .

In STEP  $k$ ,

$\mathbf{M}_k(i, j) = \text{VACANT}$  if  $D_1(i, j) = \dots = D_k(i, j) = \text{VACANT}$   
 $= \text{OCCUPIED} \Leftarrow$  exactly one  $D_{k'}(i, j)$  of  $D_1(i, j), \dots,$   
 $D_k(i, j) : \text{OCCUPIED}$  and the others :  $\text{VACANT}$

if  $\mathbf{M}_k(i, j)$  is already  $\text{OCCUPIED}$  and  $D_{k+1}(i, j) = \text{OCCUPIED}$   
then the output  $y$  is  $\text{OVERLAPPED}$   
and the computation  $\text{STOP}$ .



# METHOD

The work matrix  $M$

	1		$m$
1		...	
		VACANT	...
$n$		...	

*Initially* set  $y$  to “NOT-OVERLAPPED”;

Set all elements of  $M$  to “VACANT”;

**for** all cells  $c(i, j, 1)$  ( $1 \leq i \leq n$ ,  $1 \leq j \leq m$ )

in the layer 1 in  $G$  **do**

	1	$j$	$m$
1		...	
$i$		VACANT	...
$n$		...	

# ***/\* STEP A\****

**repeat until** the visit reaches to the bottom layer **do** visit downward cells  $c$  along with inter layer edges of the common northeast corner ;

**if**  $occupation(c) = \text{"OCCUPIED"}$  and the area of the visited cell  $c$  is bounded by  $i, i', j, j'$  ruled lines **then**

**for**  $x, y$  bounded by  $i, i', j, j'$  **do**

**if**  $M(x, y) = \text{"VACANT"}$  **then** set  $M(x, y)$  to  $\text{"OCCUPIED"}$

**else** */\*  $M(x, y)$  is already "OCCUPIED" \*/* **do** set  $y$  to  $\text{"OVERLAPPED"}$ ; **STOP** ; **end**

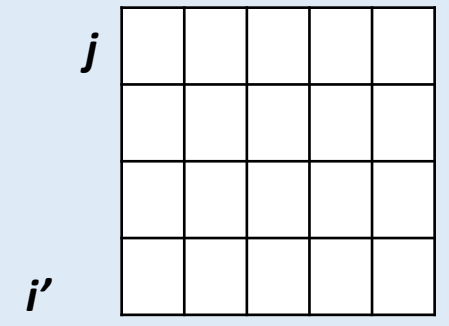
**end**

**end;**

# STEP Aの説明例 1

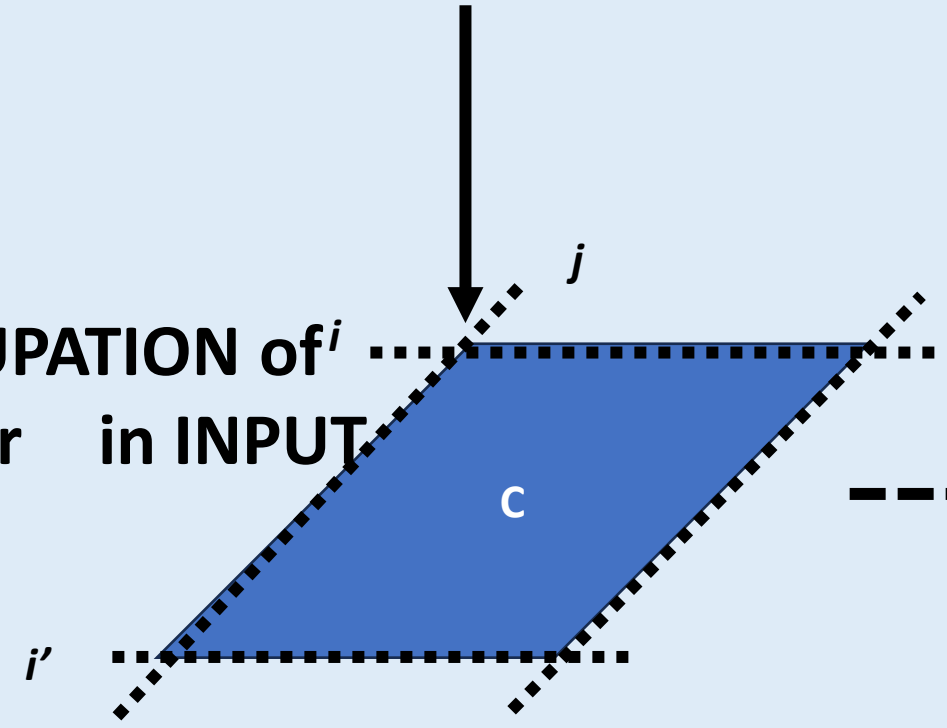
## Mがvacant の場合

The working matrix **M**, a part  $j$

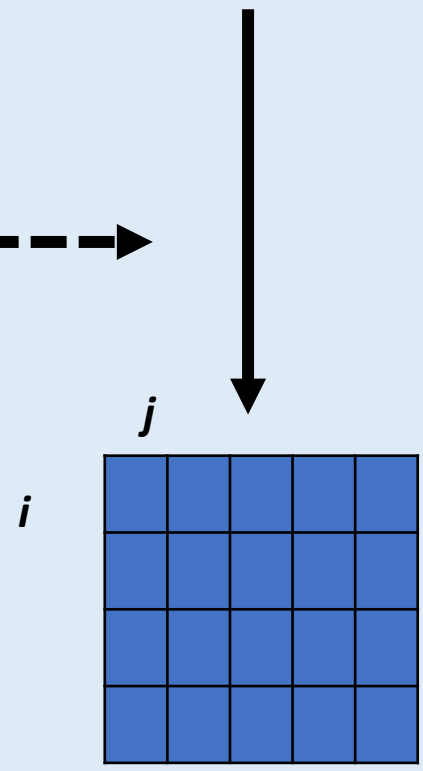
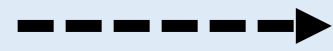


*k*-th repeat loop の後

Ex. OCCUPATION of  $i$  in  $k+1$  layer in INPUT

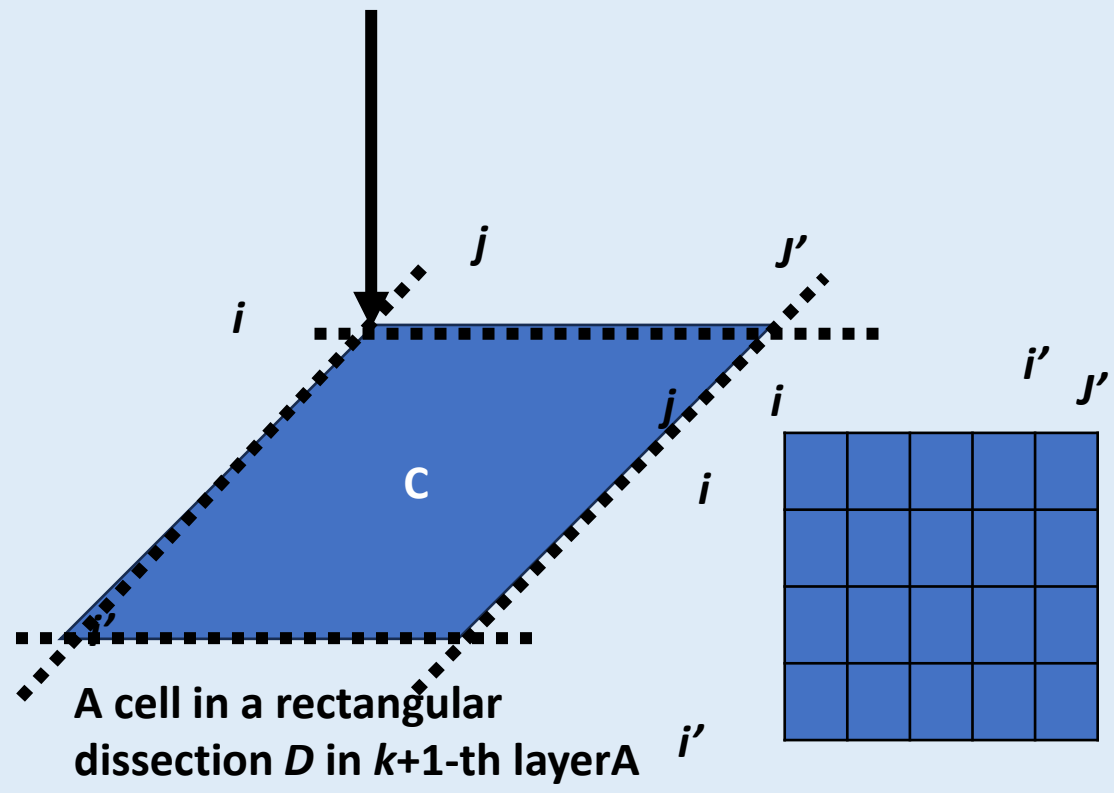


A cell in a rectangular dissection  $D$  in  $k+1$ -th layer



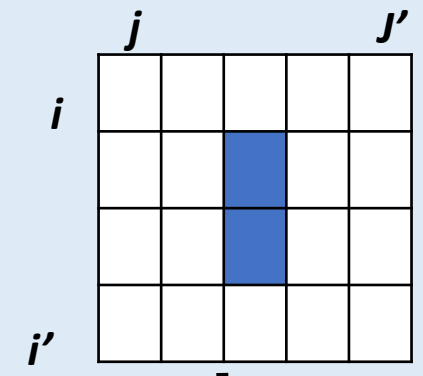
*k*+1-th repeat loop の後

# STEP Aの説明例 2 Mがvacantでない場合



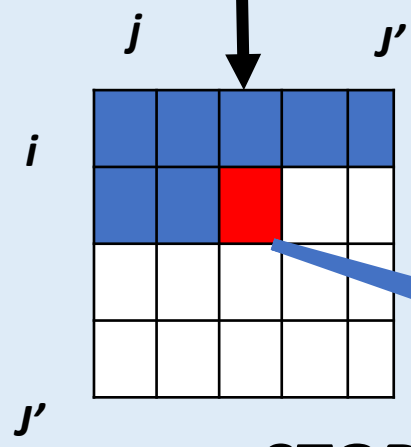
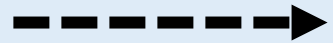
Ex. OCCUPATION of  $k+1$  layer

The working matrix  $M$ , a part



$k$ -th repeat loop

Ex. OCCUPIED



$k+1$ -th repeat loop

OVERLAPPED!

STOP

*/\*念のため他のコーナー処理→不要？\*/*

*execute Steps B, C, D similarly to STEP A for the other 3 corner edges, respectively*

end

矩形  
セルを  $c, c'$

***STEP A for  
NE corner edge***

***STEP B for  
NW corner edge***

C

***STEP C for  
SW corner edge***

***STEP D for  
SE corner edge***

**命題。** 多層型矩形分割Dで、部分的に重なる二つの  
図形CとDが存在

⇔ Algorithm 2DoverlapDetectionWith16grid( $G_D$ ,  $y$ )は  
OVERLAPPEDを出力する、ここで $G_D$ はDを表す16-  
次格子グラフ





## (ii) 計算時間

- 一般に  $O(n^2)$

∴) 各頂点の位置(壁の罫線番号)は各頂点に付随  
(もし無ければ、前処理で $O(n)$ 時間で付加)

- セルのサイズが全て  $1 \times 1 \Rightarrow O(n)$

∴) この場合 STEP A は $O(1)$ 時間

- 追加。一般にも  $O(n)$

∴) 各層に注目すると、頂点は2度はvisitされない、  
Mの要素は2度は書き換えられない



## 4.2 3次元の場合

- 最上層の全ての直方体分割と全ての共通コーナー辺8個について
- STEP Aと同様の処理を行う
- 時間計算量は2次元の場合と同様である.



## 4.3 4次元の場合

同様の結果を得る（予稿参照）  
前処理アルゴリズムも同様

- ここでは、最上層の全ての超直方体分割と全ての共通コーナ一辺について、STEP Aと同様の処理を行う。
- 時間計算量は2次元の場合と同様である。



# 5. おわりに



- 以下を導入：
  1.  $8k$ 次格子による重なり の定義
  2. 同じく  $8k$ 次格子を用いた  $O(n)$ 時間と  $O(n^2)$ 時間の重なり検知アルゴリズム. (実際の計算時間はどちらが早いかわからない)
- $O(n)$ のアルゴリズムは一般の不均一な(超)矩形分割で表現された物体に関して、
  - 矩形双対グラフ上の自明なアルゴリズムより低い時間計算量
  - $4k$ 分木のグラフ上の自明なアルゴリズムより適用範囲が広い

- 応用
- § 4.2は3次元静止物体と動きのある平面図形の重なり検知に応用可能、  
§ 4.3は動きのある3次元物体の重なり検知(衝突検知)に応用可能。

- 今後  
実装

8次格子	データ済、	他のアルゴリズム済
16次格子	データ済	他のアルゴリズム済
24次格子	データ済	他のアルゴリズム済
40次格子	データ途中	
64次格子	データ途中	
96次格子	データ途中	

- 土田賢省氏と野牧賢志氏に感謝します



THANK YOU



# 予備用

アルゴリズムに16次である事はどう反映しているか？

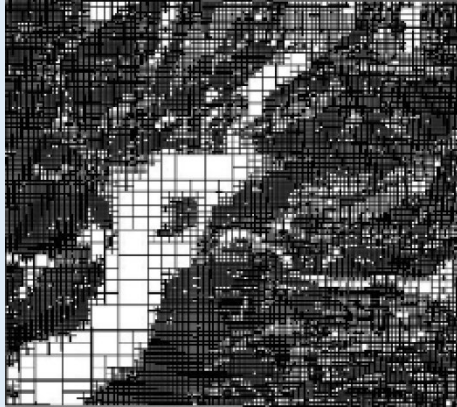
隣接しているセルを16個以上探す必要が無い

アルゴリズムに罫線はどう反映しているか？

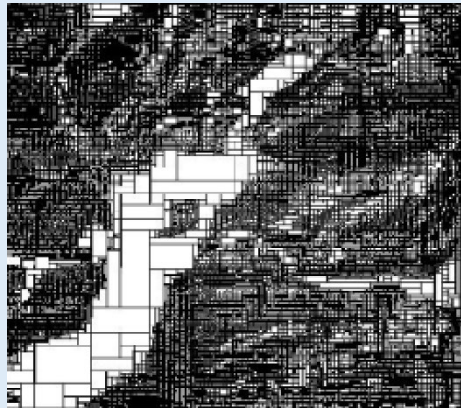
各セルの座標が入っている。

# Comparison of quadtree method and the octgrid method with respect to resolution reduction

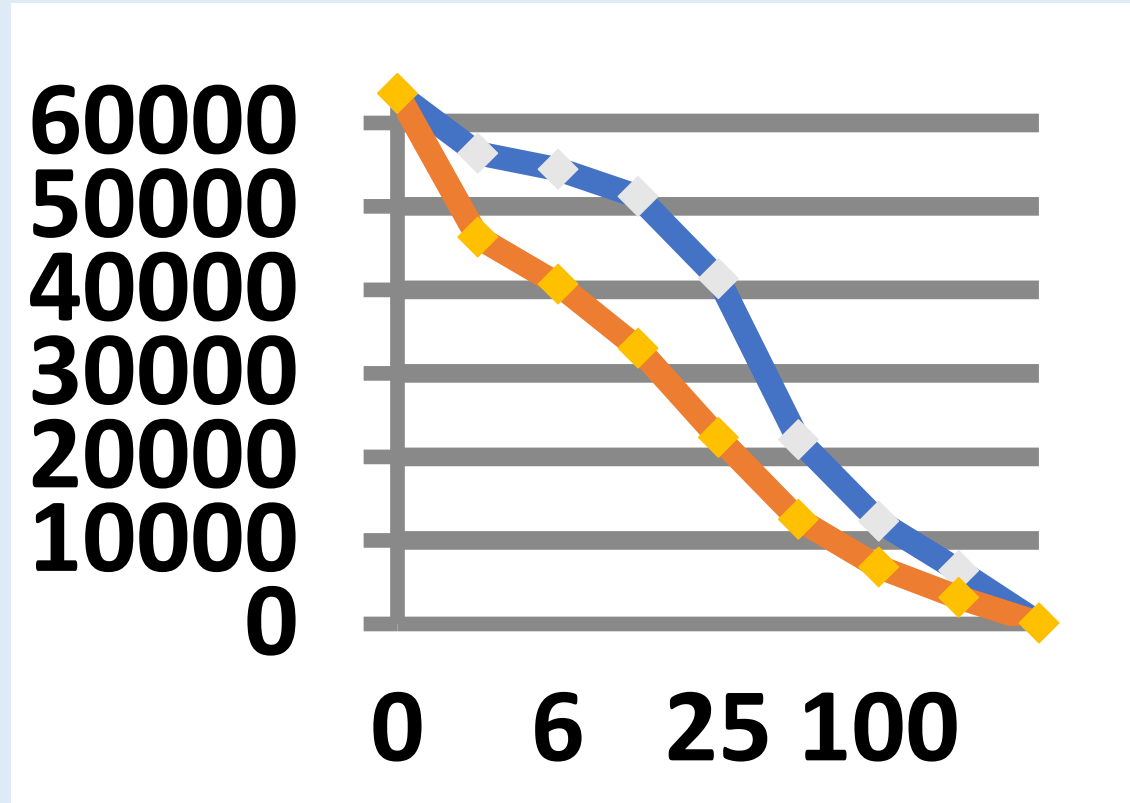
15分



Quadtree methods(in blue)



Octgrid methods in orange



SIGGRAPH 2012 Posters